

Fig. 1

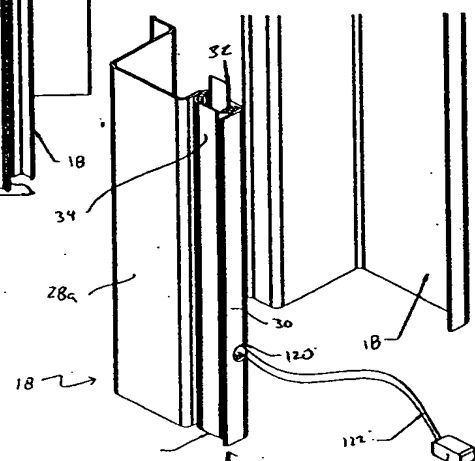


Fig. 2

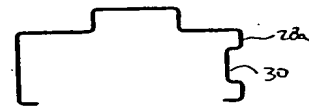


Fig. 3A

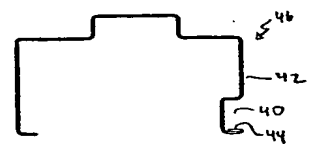


Fig. 3B

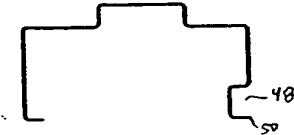


Fig. 3C

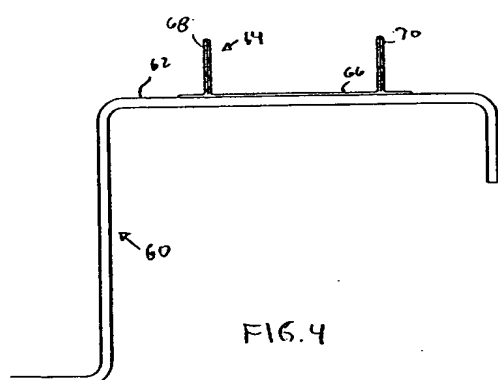


Fig. 4

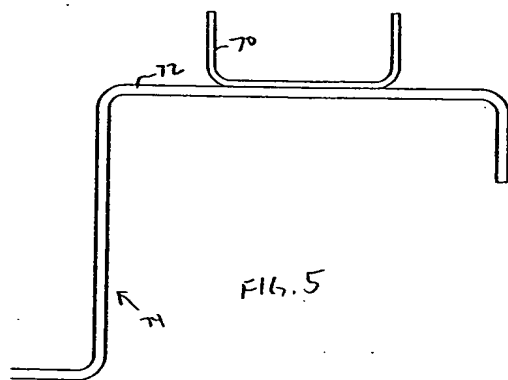


Fig. 5

2/4
David J. Dedic et al
AADG100001000

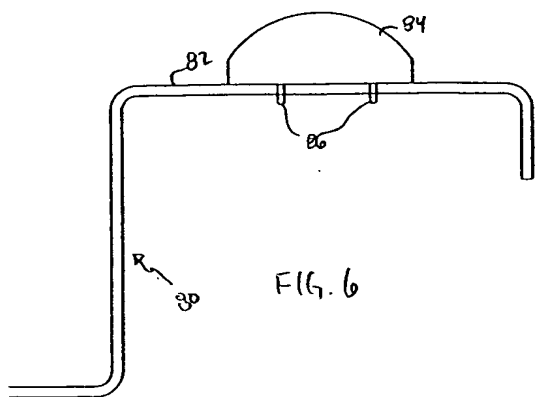


FIG. 6

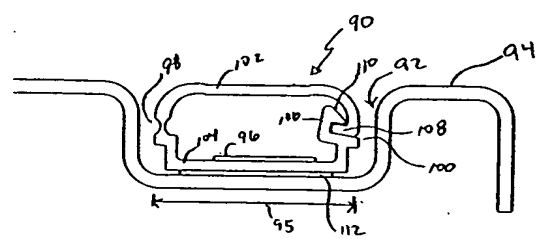


FIG. 7

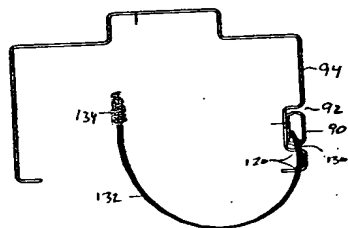


FIG. 8

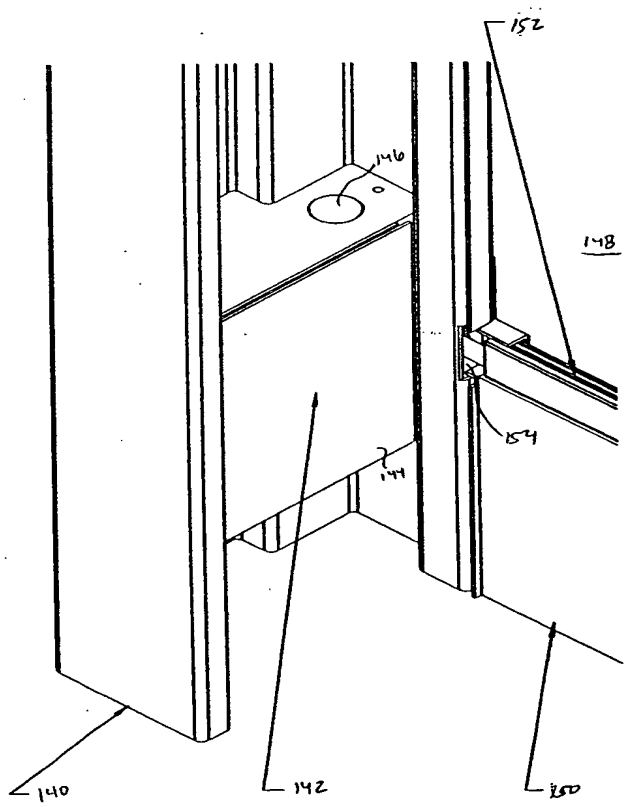


FIG. 9

3/4

David J. Dedic et al
AADG100001000

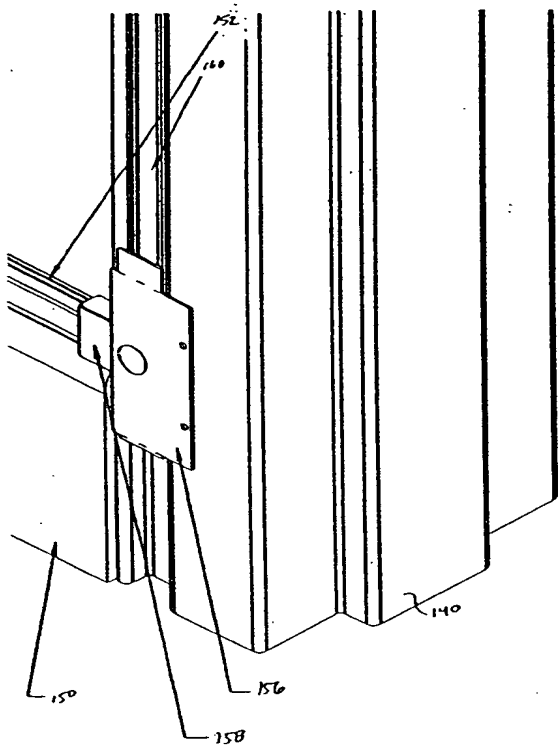


FIG. 10

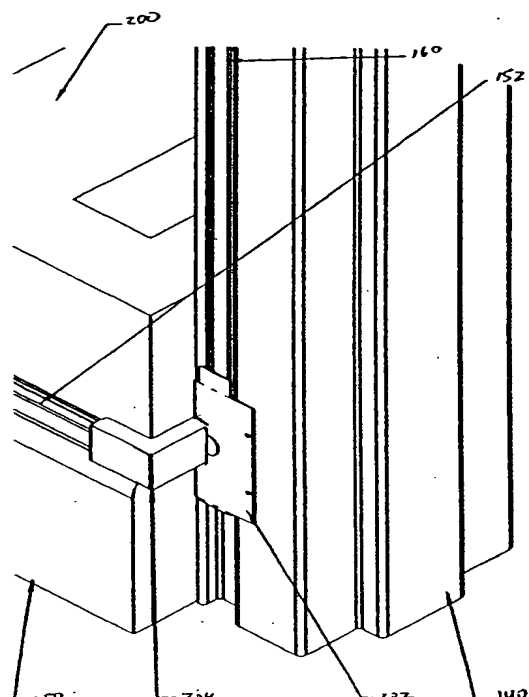


FIG. 11

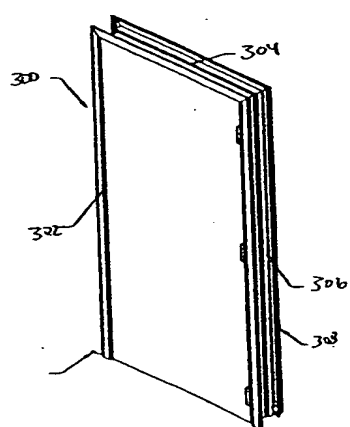


Fig. 12.

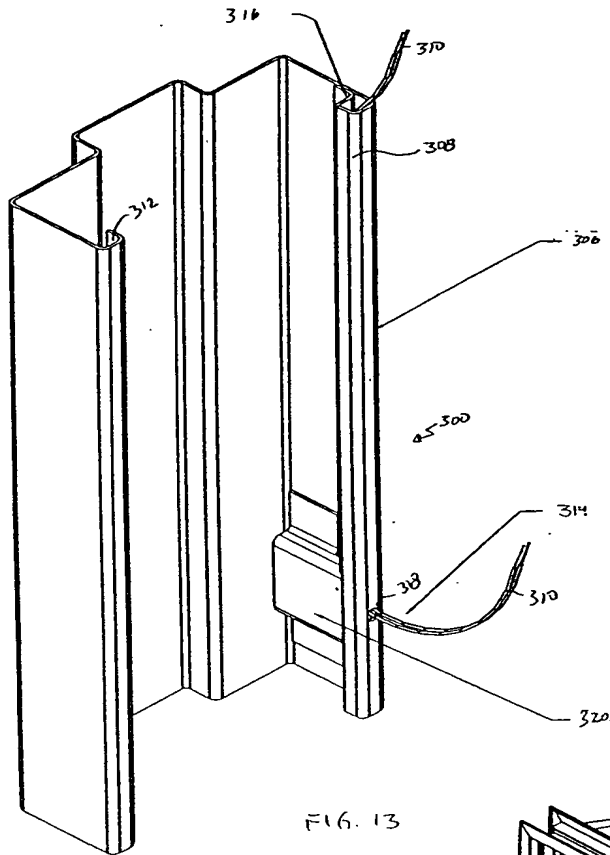


FIG. 13

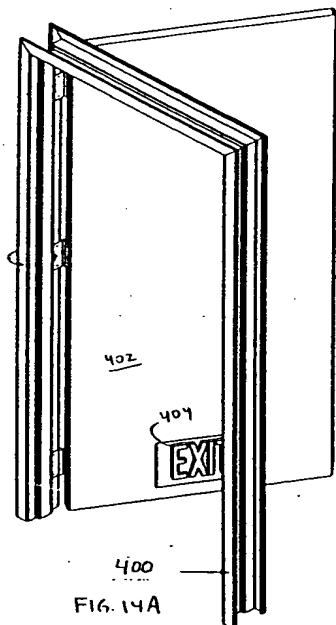


FIG. 14A

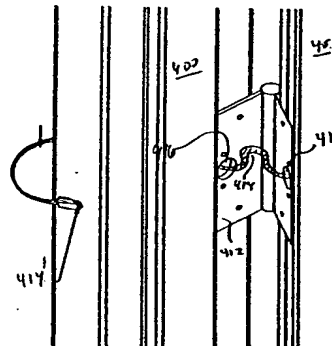


FIG. 14C

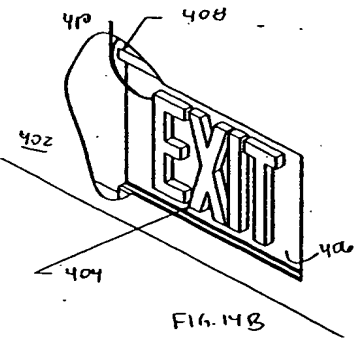


FIG. 14B